

Zeitschrift:	Eclogae Geologicae Helvetiae
Herausgeber:	Schweizerische Geologische Gesellschaft
Band:	67 (1974)
Heft:	1
Artikel:	Structures alpines autour de San Lorenzo et mécanismes orogéniques
Autor:	Amstutz, André
DOI:	https://doi.org/10.5169/seals-164281

Nutzungsbedingungen

Die ETH-Bibliothek ist die Anbieterin der digitalisierten Zeitschriften auf E-Periodica. Sie besitzt keine Urheberrechte an den Zeitschriften und ist nicht verantwortlich für deren Inhalte. Die Rechte liegen in der Regel bei den Herausgebern beziehungsweise den externen Rechteinhabern. Das Veröffentlichen von Bildern in Print- und Online-Publikationen sowie auf Social Media-Kanälen oder Webseiten ist nur mit vorheriger Genehmigung der Rechteinhaber erlaubt. [Mehr erfahren](#)

Conditions d'utilisation

L'ETH Library est le fournisseur des revues numérisées. Elle ne détient aucun droit d'auteur sur les revues et n'est pas responsable de leur contenu. En règle générale, les droits sont détenus par les éditeurs ou les détenteurs de droits externes. La reproduction d'images dans des publications imprimées ou en ligne ainsi que sur des canaux de médias sociaux ou des sites web n'est autorisée qu'avec l'accord préalable des détenteurs des droits. [En savoir plus](#)

Terms of use

The ETH Library is the provider of the digitised journals. It does not own any copyrights to the journals and is not responsible for their content. The rights usually lie with the publishers or the external rights holders. Publishing images in print and online publications, as well as on social media channels or websites, is only permitted with the prior consent of the rights holders. [Find out more](#)

Download PDF: 16.01.2026

ETH-Bibliothek Zürich, E-Periodica, <https://www.e-periodica.ch>

Structures alpines autour de San Lorenzo et mécanismes orogéniques

Par ANDRÉ AMSTUTZ

41, quai Wilson, 1200 Genève

RÉSUMÉ

L'auteur indique les structures des éléments Saint-Bernard, Mont-Rose et Monte Leone qui s'étendent entre le Toce et le massif Mont-Rose, et plus particulièrement autour de San Lorenzo; ces structures correspondent à des nappes dérivant de subductions cisailantes, et à des déformations longitudinales et transversales de ces nappes. Il indique aussi les raisons qui l'ont amené à considérer les recouvrements Saint-Bernard sur Mont-Rose comme des déversements de masses SB dans la fosse géosynclinale MR lors d'une première phase tectogène; et, en connection avec les variations de forme du bourrelet infracrustal, il envisage les mécanismes qui ont eu lieu lors des subductions cisailantes et des écoulements consécutifs.

Avant-propos

Pour comprendre l'orogénèse alpine, les structures de l'Ossola qui apparaissent autour de San Lorenzo, dans le Val Bognanco, sont sans doute d'une très grande importance, car non seulement elles donnent des indications majeures pour la chronologie des principaux diastrophismes du segment Ossola–Tessin (le plus complexe de la chaîne alpine), mais elles montrent aussi, par un très bel exemple, le mode de formation des grandes nappes alpines.

Voyons donc, autour de San Lorenzo, ces structures typiques de nappes, et aussi de déformation de nappes, et pour cela subdivisons le tour d'horizon en quatre zones. Dans un premier quadrant, de l'E au N, examinons le dos de la nappe Monte Leone dans ses parties radicales; voyons ensuite, dans les quadrants NW et SE, le groupe des gneiss Verosso–Berisal et le groupe des gneiss Domo–Prabernardo, qui sont tous deux sus-jacents à la nappe Monte Leone et qui sont tous deux ondulés avec des déversements vers S; puis nous verrons dans le quadrant SW les strates ophiolitiques typiques de la zone Mont-Rose, également déversées vers S.

Nappe Monte Leone

Dans le quadrant NE envisagé ci-dessus s'étendent les parties dorsales de la nappe Monte Leone, entre la rivière Bogna, le torrent Acquamorta, les lieux dénom-

més Arza et Monscera, et les parois gneissiques qui surplombent le Toce au N de Domodossola. Sous une couverture mésozoïque très amincie, extrêmement amincie par un intense laminage, ces parties dorsales de cette grande nappe simplonique sont faites de gneiss paléozoïques comportant une grande épaisseur de «couverture postorogénique hercynienne» où prédominent fortement des gneiss albitiques à grain fin, gneiss dérivant (on peut le savoir, maintenant) de rhyolites et dacites permocarbonifères plus ou moins diaphoritisées pendant l'alpin. Le Mésozoïque, lui, est fait de calcaires dolomitiques, schistes lustrés, ophiolites, souvent réduits en lentilles, et, en quelques endroits, fait de roches extraordinairement biotitiques dérivant de la recristallisation d'un mélange broyé de gneiss et d'ophiolites.

Un peu de géométrie élémentaire découlant du pendage des strates mésozoïques et gneissiques, montre que la surface-limite de ce dos Monte Leone est ici une surface conchoïdale, proche d'une calotte sphérique; elle plonge 60° S le long de la Bagna, approximativement 30° SSW dans les parages d'Arza, et s'enfonce vers l'W ou WSW entre ces deux zones, tout simplement parce que les nappes simploniques s'enfoncent longitudinalement à l'E et à l'W du segment Ossola-Tessin, s'arrêtent en profondeur, ne se prolongent pas au-delà des bords de ce segment (alors que tant de coupes les promènent de la Méditerranée à Vienne).

Mais ce qui est particulièrement frappant dans les parties dorsales de cette grande nappe simplonique, et ce qui est là extrêmement important pour bien comprendre la formation des nappes alpines dans leur zone radicale, ce sont les schistosités tant du Paléozoïque que du Mésozoïque. Ces schistosités, qui proviennent évidemment d'un intense laminage, sont: a) constamment parallèles à la surface-limite envisagée ci-dessus, b) très accentuées près de cette surface-limite, c) graduellement décroissantes en s'abaissant, en s'éloignant de celle-ci. Tandis qu'au-dessus de cette surface-limite, qui est évidemment une *surface de cisaillement*, rien de pareil. Les strates gneissiques Verosso, les strates gneissiques Domo-Prabernardo et les strates ophiolitiques Mont-Rose, sont là: soit coupées, sectionnées nettement, avec des angles variant naturellement de 0 à 90°; soit quelque peu comprimées, avec plissements, imbrications ou simplement froncements.

Il appert donc que de part et d'autre de la surface principale de cisaillement connexe de la première subduction simplonique, celle qui a créé simultanément la nappe Verosso-Berisal et le dos de la nappe Monte Leone *avant même que naisse la base*¹⁾, deux groupes de transformations se sont produits: au-dessus de cette surface, des sectionnements et une tendance à la compression; au-dessous, des laminages et des étirements, avec des myriades de glissements différentiels, et une schistosité générale constamment parallèle à la surface de cisaillement, pour laquelle je propose le terme de *schistosité de subduction*.

Ajoutons, bien que ce ne soit pas dans le cadre fixé ici (les alentours de San Lorenzo), que ce phénomène est général dans les Alpes. Je le montrerai encore par nombre d'exemples, mais ici-même, remarquons, dans l'Ossola, que ce qui s'est passé lors de la première subduction cisaillante simplonique, s'est répété lors des

¹⁾ Lorsque des subductions se font en série, successivement et côte à côte, la première des nappes a évidemment son dos déjà constitué par la surface du sol, mais pour toutes les suivantes le dos de la nappe se forme avant la base.

trois subductions suivantes, avec des résultats exactement du même genre: laminage et «schistosité de subduction» sous la surface principale de cisaillement; sectionnement et tendance à la compression au-dessus. Toutes ces schistosités, caractéristiques des parties radicales des nappes, et si démonstratives pour comprendre leur mode de formation, sont merveilleusement observables dans le Val Diveria, de Crevola à Gabi, et dans le Val d'Antigorio, en aval et en amont de Verampio. Je les ai figurées, je l'espère clairement, sur la coupe au $1/250000$ ci-jointe, avec la chronologie, l'ordre de formation des nappes.

Aux faits précédents et aux conclusions qui en découlent, il me paraît utile, pour deux raisons, d'adoindre une description sommaire du Mésozoïque laminé, très aminci, qui est au dos de la nappe Monte Leone et qui affleure de Cisore, à l'entrée du Val Bognanco, jusqu'au col de Monscera, près d'Arza, endroit devenu classique par la coupe primordiale d'Argand. Tout d'abord, pour que le géologue examinant les lieux avec le panorama et la carte tectonique ci-jointes, n'ait pas à rechercher cette description (une huitaine de pages) dans un travail que j'ai fait paraître en 1954. Ensuite, pour l'importance déterminante qu'a eu alors cette *jonction mésozoïque Arza-Cisore* quant à l'enracinement collectif des nappes du système Argand-Staub. Cette jonction Arza-Cisore montrait, en effet, que le cœur du problème qu'est l'espace triangulaire Domo-Prabernardo n'est pas fait de racines simploniques ployées, mais de masses Saint-Bernard (déversées dans la fosse géosynclinale MR); ce qui mettait fin à ce fondement utopique des conceptions structurales qui prévalaient alors et que l'on retrouvait à la base des deux principales études tectoniques et pétrographiques faites auparavant dans cette zone de l'Ossola.

Résumons donc ici, très brièvement, les particularités de ce Mésozoïque Arza-Cisore, couverture de la nappe Monte Leone.

De Cisore, à l'entrée du Val Bognanco, jusqu'au km 4, une série d'amphibolites et serpentines plongeant 60° S ou SSE; puis un écroulement masquant cette couverture mésozoïque laminée et réduite aux seuls éléments ophiolitiques. Un peu plus loin, sous le pont de Torno, des amphibolites plongeant 60° S visibles sur 2 m d'épaisseur seulement; puis, encore dans la Bogna, 120 m à l'W, des bancs amphibolitiques et serpentineux, même plongement; et, toujours dans la Bogna, un petit affleurement ophiolitique, suivi, sous le km 5, d'un très bel affleurement de mêmes roches, visibles sur 15-20 m d'épaisseur, avec pendage 60° S. Au confluent Molezzano-Bogna, des amphibolites enserrées entre des gneiss laminés, étirés Monte Leone plongeant $50-60^\circ$ S, et des gneiss plissés, comprimés Domo-Prabernardo plongeant 20° S.

Entre San Marco et la grande route, le complexe laminé comportant le Mésozoïque a env. 50 m d'épaisseur et une schistosité plongeant $50-60^\circ$ S dans les endroits épargnés par le fauchage; dans la masse des roches vertes et gneissiques mylonitisées subsistent, étonnement, quelques lentilles calcaires dont l'épaisseur varie de 1 dm à 1 m. Ensuite, au-delà du quaternaire, à env. 400 m en aval du grand pont des Terme, ce complexe laminé comportant le Mésozoïque traverse la grande route avec les mêmes caractéristiques si ce n'est une schistosité un peu contorsionnée.

De là, ce complexe laminé passe sous la Bogna et le quaternaire des alentours de Valpiana, et se retrouve dans le ravin de l'Acquamorta sous forme de roches broyées, mélangées et recristallisées, souvent très biotitiques (orthose des gneiss et fémiques des ophiolites), dont la description, qui occuperait trop de place ici, se trouve dans AMSTUTZ (1954). Près du petit pont sur l'Acquamorta, entre Moraso et San Lorenzo, existe encore une mylonite gneissique et calcaire; mais de là les restes du Mésozoïque sont sous le quaternaire jusqu'à Rosalpe, jusqu'à trois affleurements de calcaires dolomitiques posés sur des gneiss Monte Leone plongeant dans cette zone-ci $25-35^\circ$ WSW-SSW.

De Rosalpe à Arza, le Mésozoïque n'affleure pas, mais son emplacement sous le glaciaire et la masse glissée de Pragio est indiquée clairement; d'une part, par la schistosité de subduction 30°

SW des gneiss Monte Leone; d'autre part, par la nature massive, ou cataclasée mais non étirée, des gneiss Verosso qui s'étendent à l'WSW de la chapelle San Bernardo.

Dans les alentours d'Arza et Monscera, les structures engendrées par la première subduction cisaillante simplonique sont typiques. Elles apparaissent admirablement de part et d'autre des calcaires dolomitiques d'Arza et des petits affleurements de calcaires, schistes lustrés et prasinites de Monscera et Micalcesti, que j'ai cartographiés et décrits en 1954. Sous cette couverture mésozoïque laminée, étirée, réduite, les gneiss Monte Leone sont également laminés, étirés, isoclinaux; une *schistosité de subduction* typique plongeant SSW. Tandis qu'au-dessus du Mésozoïque, à quelques centaines de m à l'W et SSW d'Arza, les gneiss Verosso ont été comprimés et présentent les caractères suivants: a) à la base, sur quelques m d'épaisseur, une zone de mylonitisation bien caractérisée; b) au-dessus, sur 10 ou 15 m d'épaisseur, dans des strates plongeant vers N, une zone de frémissement intense, faite de plissotements souvent très serrés, dont la grandeur varie du cm au dm, et dont les axes de charnières sont généralement EW; c) une zone d'ondulations dont les rayons de courbure sont de l'ordre du m ou du décamètre, avec des inclinaisons très variables mais avec une direction généralement EW des strates, ces ondulations résultant aussi de compressions et de torsions ou gauchissements; avec des passages plus ou moins graduels entre ces trois zones.

Gneiss Verosso et gneiss Domo-Prabernardo

Entre ces deux groupes de gneiss il y a beaucoup d'analogies. Les deux comportent beaucoup de gneiss albitiques à grain fin qui proviennent d'une série de rhyolites et dacites permocarbonifères et d'un cortège de roches détritiques dérivant de ces volcanites; ils englobent aussi nombre de lentilles granodioritiques qui proviennent vraisemblablement des foyers ou des appareils volcaniques ayant engendré ces roches permocarbonifères. Quant aux éléments gneissiques antécarbonifères, il est très probable qu'ils dérivent en majeure partie de sédiments dévoiens et siluriens; ils présentent naturellement des types divers, dont quelques-uns correspondent à une granitisation très accentuée.

Tectoniquement aussi il y a beaucoup d'analogies; les strates sont généralement ondulées, le plus souvent avec des déversements vers S. De plus, dans le Val Bognanco, on voit tous ces gneiss cisaillés dans leurs parties inférieures par la première des subductions simploniques.

Ces deux groupes sont cependant séparés par les grandes masses ophiolitiques qui s'étendent à l'E du massif Mont-Rose entre les vallées d'Antronapiana et de Bognanco; et l'on comprend que jusqu'en 1954 on en ait fait deux entités bien distinctes d'origine toute différente, tant que sévissait en géologie alpine l'idée d'une culmination longitudinale de toutes les nappes penniques dans le segment Ossola-Tessin, et tant que l'on voyait dans l'Ossola une inclinaison générale vers l'W, alors qu'en réalité c'est l'inverse.

Mais maintenant on doit se dire que: a) la surface-limite septentrionale de ces masses ophiolitiques plonge en moyenne approx. 25° vers N; b) la surface-limite méridionale plonge en moyenne approx. 60° vers NNW; c) l'intersection de ces deux surfaces est donc inclinée $12-15^\circ$ vers N 60° E, et cette inclinaison est évidemment aussi celle du dièdre correspondant à l'enveloppe de ces masses ophiolitiques; d) cette inclinaison correspond à celle qui dérive des ajustements isostatiques en cette zone des Alpes, ajustements s'amortissant à l'E de l'énorme soulèvement du massif Mont-Rose (le dièdre ayant été vraisemblablement horizontal ou subhorizontal à l'origine, et ayant ensuite subi cette inclinaison comme toutes les autres structures en cette zone); e) le dièdre ophiolitique s'enfoncerait réellement et pas seulement

virtuellement sous les gneiss Verosso et Domo-Prabernardo réunis, si le cisaillement de la première des subductions simploniques n'avait pas coupé gneiss et ophiolites au niveau où elle s'est faite; f) si ce cisaillement s'était fait à un niveau un peu inférieur, on verrait sur la carte géologique ces deux groupes de gneiss se rejoindre, s'unifier, à l'E d'un coin vert qui ne serait pas tronqué par le cisaillement.

Ces faits et ces corollaires faisant bien apparaître que gneiss Verosso et gneiss Domo-Prabernardo sont solidaires, voyons maintenant d'où proviennent ceux-ci, et nous verrons en même temps que l'espace gneissique triangulaire Domo-Prabernardo constitue vraiment le cœur des grands problèmes qu'il fallait résoudre non seulement pour l'Ossola mais aussi pour l'orogénèse alpine en général.

Dans le système Argand-Staub, cet espace triangulaire Domo-Prabernardo est fait de racines des nappes simploniques, racines ployées et reployées pour accorder la nature à la théorie. Tandis que dans la conception de C. Schmidt, considérée avec ironie par Argand, cet espace est fait de gneiss *autochtones*, ce qui rend géométriquement, structuralement, impossible le pli transversal d'Antronapiana tel qu'il est envisagé par cette conception.

Ces deux conceptions sont aussi erronées l'une que l'autre, car, en considérant attentivement toutes les structures visibles, et en considérant très soigneusement toutes les hypothèses possibles, on ne peut, raisonnablement, qu'aboutir à cette solution, à cette conclusion: *cet espace triangulaire Domo-Prabernardo est fait de gneiss Saint-Bernard déversés dans la fosse géosynclinale Mont-Rose, plus exactement: déversés sur les ophiolites constituant la couverture mésozoïque de cette fosse.*

Les raisons en sont les suivantes:

1. La sédimentation géosynclinale et la tectogénèse ayant eu beaucoup plus d'ampleur dans le segment valaisan-valdotain que dans l'Ossola-Tessin, des diastrophismes transversaux devaient immanquablement se produire entre ces deux segments, dans les parties faisant transition, dès la fin de la grande tectogénèse pennique, lors des ajustements isostatiques. Et c'est surtout dans la zone géosynclinale Mont-Rose que les dénivellations engendrant ces diastrophismes transversaux devaient avoir lieu, car c'est là que la différence de profondeur entre ces deux bourrelets infracrustaux était la plus grande. Dès lors, l'énorme soulèvement du massif Mont-Rose devait créer sur son flanc E, par débordement latéral, le grand pli transversal qui est schématisé sur la coupe ci-jointe avec des pendages qui correspondent exactement à ceux que l'on observe autour d'Antronapiana; tandis qu'en ces lieux tous les pendages diffèrent du système Argand-Staub.

2. La prédominance des ophiolites et le développement restreint des calcaires dolomitiques dans la zone Mont-Rose alors que c'est l'inverse dans la zone Saint-Bernard, l'absence complète de ce Trias nérétique dans les parties médianes de la zone Mont-Rose, l'absence de tout conglomerat mésozoïque dans la zone Mont-Rose (nous-tons-le bien) alors qu'il en existe dans les schistes lustrés de la zone Saint-Bernard, tous ces faits démontrent que la zone Mont-Rose s'est étirée, fissurée, en même temps qu'elle s'affaissait; tout démontre qu'elle est rapidement devenue la grande fosse du géosynclinal alpin. Comme d'autre part la zone Sesia présente à un degré moindre les caractères principaux de la zone Mont-Rose, tout cela ne peut s'expliquer sérieusement que par un courant subcrustal, plus exactement: par un départ de magma

basaltique sous la zone Sesia, une accentuation au maximum de cette translation sous la zone Mont-Rose, et un amortissement graduel de cette translation sous la zone Saint-Bernard et l'avant-pays, le continent.

Or, une telle translation magmatique, un tel courant subcrustal, devait forcément créer dans les zones sus-jacentes deux groupes de forces, avec effort tranchant dérivant de différence angulaire: a) forces actives dirigées vers l'avant-pays mais descendantes, plus ou moins parallèles au courant, dérivant d'entraînements par friction dans les zones visqueuses à la base de l'écorce terrestre, entraînements transmis de proche en proche dans les zones plus ou moins plastiques sus-jacentes; b) forces horizontales ou subhorizontales, passives, constituant la résistance offerte par l'avant-pays aux entraînements par adhérence. Et ces groupes de forces, par les mouvements et les lentes déformations qu'elles impliquent, devaient graduellement augmenter, sous la fosse Mont-Rose, l'inclinaison de la sous-face de l'écorce terrestre, et donner ainsi d'autant plus de vigueur au courant subcrustal; jusqu'à vaincre finalement les résistances de cette écorce, produire tout d'abord une flexure, puis, à un moment paroxysmal, une subduction à cisaillement net et tranchant dans les hauts de l'écorce terrestre (15, 20 km) et au-dessous une subduction telle qu'elle peut se faire dans des masses plastiques, quasi-fluidales²). Et dès lors, avec l'accentuation des dénivellations initiales engendrée par la subduction cisaillante (phénomène primordial), il appert que des écoulements (phénomène complémentaire et amplificateur) ont déversé dans la fosse Mont-Rose les parties méridionales de la zone Saint-Bernard, *jusqu'à remplir entièrement cette fosse*³).

D'où, les structures ondulées des gneiss Verosso et des gneiss Domo-Prabernardo, et le recouvrement des ophiolites mésozoïques Mont-Rose par ceux-ci; structures et recouvrement schématisés sur la coupe ci-jointe.

3. Ce qui précède s'accorde parfaitement avec ce qu'il y a de meilleur, de plus juste dans l'œuvre admirable d'Argand: les déversements de masses Sesia vers le nord. En rectifiant la chronologie des diastrophismes, en comprenant l'asymétrie du premier bourrelet subcrustal et ses conséquences, et en comprenant que les nappes Emilius, Mont-Mary et Dent-Blanche d'E. Argand correspondent à des *subductions cisaillantes* du Complexe SB/MR sous la zone Sesia, on voit que l'espace gneissique triangulaire Domo-Prabernardo est tout-à-fait normalement délimité au S par le cisaillement rectiligne qui se poursuit de Mugnald à S. Maria Maggiore.

Tels sont les trois groupes de raisons qui montrent que les gneiss de l'espace triangulaire Domo-Prabernardo et les gneiss Verosso, autrefois solidaires, sont des éléments Saint-Bernard appartenant au Complexe SB/MR. Pour les particularités structurales de ces gneiss l'essentiel est représenté sur la coupe ci-jointe, mais pour une multitude de détails à propos de leur nature autour de San Lorenzo et à propos

²) Un tel mouvement était prédestiné, comme sont prédestinés, par exemple, les mouvements analogues avec séismes qui se font aujourd'hui autour du Pacifique.

³) Que ce déversement sous-marin SB/MR soit le premier grand diastrophisme alpin, on en trouve une pleine confirmation dans: a) les retroussements de digitations Saint-Bernard lors du cheminement des masses Sesia vers le N, près de Cogne et dans le Valtournanche; b) les structures laminées, étirées, à peu près isoclinales, sur le flanc septentrional des massifs Mont-Rose et Grand-Paradis, et, conjointement, l'absence de tout élément Sesia entre MR et SB; c) l'absence de tout conglomérat mésozoïque dans la zone MR alors qu'il en existe dans les schistes lustrés de la zone SB.

de leurs très nombreuses intercalations mésozoïques, ophiolitiques ou calcareuses, qui ne peuvent être résumés ici comme je l'ai fait plus haut pour la jonction Arza-Cisore, je ne peux que renvoyer à mon travail de 1954. Tandis que ci-dessous nous allons voir pourquoi de grandes masses ophiolitiques, épaissees tectoniquement, s'intercalent, séparent aujourd'hui gneiss Verosso et gneiss Domo-Prabernardo, autrefois solidaires.

Couverture ophiolitique Mont-Rose

La fosse Mont-Rose ayant subi au maximum l'affaissement et simultanément les fissurations du géosynclinal alpin, il est bien normal que sa couverture mésozoïque ne comporte pas ou presque pas de calcaires dolomitiques dans ses parties médianes, et qu'elle soit faite essentiellement d'ophiolites (approximativement 80 % d'après les évaluations d'Argand et de moi-même).

Basaltes et péridotites sont devenus prasinites, amphibolites, serpentines, mais à ce propos il me paraît utile et même important de noter ici qu'en parcourant le Val d'Aoste j'ai le plus souvent remarqué une prédominance de prasinites par rapport aux amphibolites, tandis qu'en parcourant l'Ossola j'ai remarqué l'inverse. A mon sens, ceci doit s'expliquer surtout par les différences de température qu'implique une épaisseur de bourrelet orogénique moindre sous l'Ossola-Tessin que sous le segment valaisan-valdotain, et il me semble que l'idée classique de «surcharge tectonique déterminant l'intensité du métamorphisme» est ici fortement mise en défaut.

Mais ne poursuivons pas ici ces quelques remarques à propos de la nature de ces roches, et revenons aux structures acquises dans l'Ossola par la couverture mésozoïque Mont-Rose et les gneiss encaissants.

Pour le flanc E du massif Mont-Rose, j'ai indiqué plus haut les raisons qui m'ont fait schématiser sur la coupe ci-jointe cette couverture et les gneiss MR et SB sous forme d'un immense pli en S résultant du débordement latéral lors de l'énorme soulèvement. Les pendages de la coupe correspondent exactement à ceux du terrain, et il est sans doute inutile d'épiloguer sur cette question.

Pour les strates plongeant N ou NW qui séparent gneiss Domo-Prabernardo et gneiss Verosso, entre la vallée d'Antrona et celle de Bognanco, il faut reprendre ici l'ensemble orogénique bourrelet-superficie et comprendre ce qui a dû se passer en profondeur entre la phase Sesia et la phase simplonique.

Rappelons pour cela qu'à l'accentuation graduelle du courant primordial créateur du géosynclinal, est due la série de subductions cisaillantes suivies d'écoulements qui a créé dans les hauts le déversement SB/MR, et dans les bas un bourrelet très asymétrique, comparable à celui des dunes. Et remarquons que sous le flanc raide de ce premier bourrelet a forcément dû naître un second courant subcrustal, plus vigoureux que le premier parce que plus incliné et parce que l'intensité, la vitesse d'un courant croit avec l'inclinaison des géoisothermes; ce qui impliquait évidemment la naissance dans cette zone de forces déformantes plus vigoureuses que les premières et plongeant en sens contraire (tandis qu'auparavant les forces plastiquement déformantes puis cisaillantes, engendrées par entraînement, étaient toutes dirigées vers l'avant pays).

D'où, entre ces nouvelles forces et la persistance des premières, une résultante plongeant vers S, qui devait produire d'une part les subductions cisaillantes du Complexe SB/MR sous zone Sesia et d'autre part des translations dans le bourrelet infracrustal (éminemment plastique et même fluidal, translations augmentant évidemment la pente du flanc méridional et revigorant ainsi le courant primordial).

Ceci devait, en conséquence, faire basculer la résultante précédente et recréer des subductions à déversement vers S, beaucoup moins importantes et moins cisaillantes que les subductions MR sous SB de la première phase tectogène, mais suffisantes cependant pour produire les grands plis-failles Camughera et Loranco, schématisés sur la coupe ci-jointe.

Ensuite, encore un processus du même genre mais en sens inverse, une nouvelle inversion de la résultante des forces plongeantes dérivant des deux courants en action, et en conséquence les quatre subductions cisaillantes de la phase simplonique. Et ainsi de suite, jusqu'à la fin de l'orogénèse alpine; des inversions, des alternances de la résultante, comme je l'ai schématisé récemment dans les *Eclogae* (64/1, 1971).

Ainsi s'explique bien normalement, par deux subductions de faible amplitude, la présence en ces lieux de la couverture ophiolitique Mont-Rose, plongeant N ou NW, épaisse tectoniquement, séparant les gneiss Domo-Prabernardo des gneiss Verosso, et comportant en son intérieur deux digitations, deux pointes anticlinales de gneiss Mont-Rose (voir coupe) dont l'une affleure au bord de la route Bognanco-Terme et San Lorenzo. Ainsi s'explique bien normalement cette déformation longitudinale de nappe Saint-Bernard sur Mont-Rose par des mouvements ultérieurs.

Pour des détails pétrographiques et structuraux à propos de ces strates ophiolitiques et des gneiss encaissants, je ne peux ici que renvoyer à mon travail de 1954.

Conclusion

Telles sont les structures des deux nappes penniques qui apparaissent autour de San Lorenzo, et telles sont les causes profondes qui les ont fait naître et qui les ont ensuite déformées, soit longitudinalement, soit transversalement. Elles mettent en évidence, me semble-t-il, l'importance de ces quatre notions nouvelles, sans doute nécessaires pour résoudre la plupart des problèmes que posent encore d'autres segments de la chaîne alpine:

1. Les vastes et classiques recouvrements Saint-Bernard sur Mont-Rose proviennent tout simplement d'une première phase tectogène; ils résultent des premiers grands mouvements de l'orogénèse alpine, et non des derniers.
2. Dans les diastrophismes alpins il faut bien distinguer: d'une part *le phénomène primordial* que constituent les subductions cisaillantes provenant d'entraînement par les courants subcrustaux, et d'autre part *le phénomène complémentaire et amplificateur* que représentent les écoulements par gravité dans les dépressions créées par les subductions elles-mêmes.
3. Lors des subductions cisaillantes alpines, il s'est produit constamment: au-dessous de la surface principale de cisaillement, des laminages et étirements, avec une *schistosité de subduction* parallèle à cette surface; au-dessus de celle-ci, des coupures de strates et une tendance à la compression.

4. L'orogénèse alpine s'est faite avec une série de subductions alternant tantôt vers l'avant-pays, tantôt vers l'arrière-pays, et impliquant une série d'inversions de la résultante des forces issues, par entraînement, des deux courants en action sous les flancs du bourrelet orogénique; pour l'évolution et les variations de forme de ce bourrelet, voir la série de schémas parue récemment dans *Eclogae* (64/1).

BIBLIOGRAPHIE

AMSTUTZ, A. (1954): *Pennides dans l'Ossola et problème des racines*. Arch. Sci. 7, 411.
- (1965): *Notions fondamentales pour la géologie de l'Ossola*. C.r. Acad. Sci. Paris 261, 1040, 1347 et 1559.

ARGAND, E. (1911): *Les nappes de recouvrement des Alpes occidentales*. Mat. carte géol. suisse [n.s.] 31.

BEARTH, P. (1939): *Über Zusammenhang der Monte-Rosa- und Bernharddecke*. Eclogae geol. Helv. 32, 101.

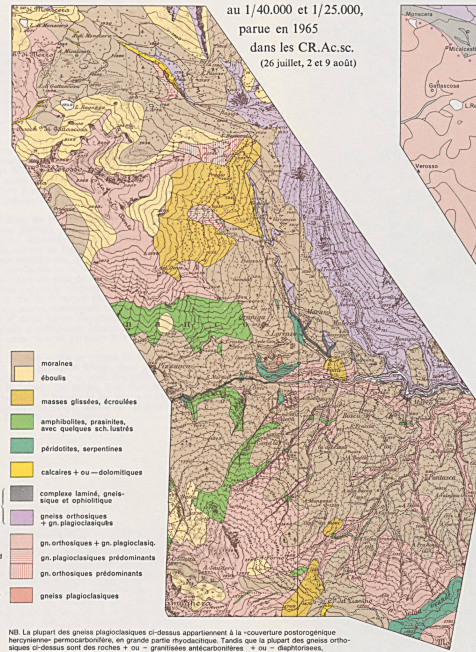
BLUMENTHAL, M. (1952): *Beobachtungen über Bau und Verlauf der Muldenzone von Antrona*. Eclogae geol. Helv. 45, 219.

SCHMIDT, C. (1907): *Über die Geologie des Simplongebietes*. Eclogae geol. Helv. 9, 484.

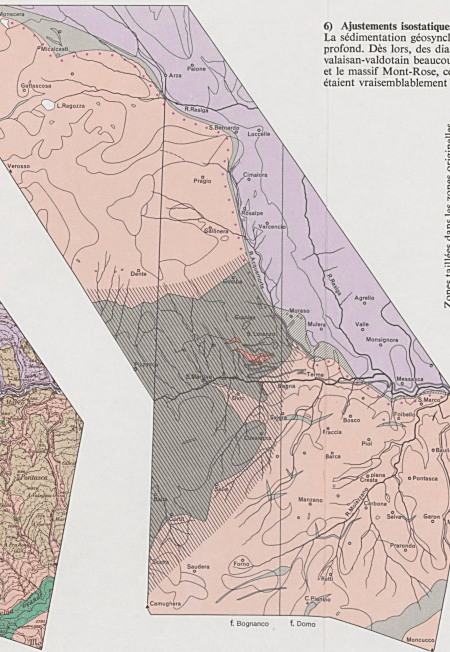
STAUB, R. (1924): *Der Bau der Alpen*. Beitr. geol. Karte Schweiz [N.F.] 52.

PS – A ces pages-ci est adjointe une carte tectonique avec une légende récapitulant l'évolution du segment Ossola-Tessin en cette zone occidentale. Et, pour donner une claire vision de ce qui apparaît autour de San Lorenzo, est joint aussi un panorama dont l'essentiel du dessin a été fait par Augustin Lombard; qu'il me soit permis de lui dire ici encore tous mes remerciements pour avoir si bien réussi ce dessin.

Réduction au 1/50.000 de la Carte géologique
au 1/40.000 et 1/25.000,
parue en 1965
dans les CR.Ac.sc.
(26 juillet, 2 et 9 août)



Carte tectonique du Val Bognanco autour de San-Lorenzo, au 1/50.000, par A. Amstutz



0) Alinement isostatique et phénomènes connexes
La sédimentation géosynclinal et la tectonique ont eu beaucoup plus d'ampleur dans le segment valaisan-valdostain que dans l'Ossola-Tessin; et il en est forcément résulté là un bourelé subcrustal beaucoup plus important, beaucoup plus profond. Dès lors, des diastrophismes transversaux étaient prédestinés dans les régions intermédiaires, dans les zones de transition. Dès la fin des phases penniques, les ajustements isostatiques ont, en effet, graduellement soulevé le segment valaisan-valdostain beaucoup plus que l'Ossola-Tessin, créant, par débordement latéral, l'immense pli transversal d'Antropaniana, et créant ici, autour de San-Lorenzo, une inclinaison longitudinale proche, en moyenne, de 20°. Entre le Toce et le massif Mont-Rose, cette inclinaison axiale se remarque en maints endroits par l'inclinaison vers l'E des lignes B de l'Ossola (lignes ou stries provenant d'intersections d'une schistosité surimposée à une schistosité antérieure, lignes qui étaient vraisemblablement horizontales à l'origine). Cette inclinaison axiale, exactement contraire à celle du système Argand-Staub, se manifeste aussi dans l'hydrographie de l'Ossola, où les principales vallées drainent les eaux de l'W à l'E.

5) Zone simplonique

Mésozoïque de la nappe Monte-Leone, comportant (hachuré) des masses lenticulaires de roches dolomítiques, calcschistiques, ophiolitiques et gneissiques, plus ou moins bruyées, mélangées et recristallisées.

Antécarbonifère et surtout postorogénique hercynien, à ceux

des zones SB et MR, car taillés dans la première des subductions simploniques.

4) Zone de déformation du complexe SB/MR

lors d'une « Phase intercalaire »

Les plis Camughera et Loranca, avec schistosité de subduction, sont déversés vers S et ont abîlé les gneiss Domo-Prabernardo par rapport aux gneiss Verosso. Ils proviennent donc de subductions de même sens que celles de la Première phase tectogène, mais d'amplitudes beaucoup moindres. On comme ceci a été figuré sur les coupes au travers de l'écorce terrestre parties dans Eclogae 64/1, la prépondérance du second couplant lors de la Deuxième phase tectogène a dû, également, créer un bourelé subcrustal (éminemment plastique et flasque) à flancs S plus raides que flancs N; d'où, une reprise de subductions à déversement vers S, et la formation des plis Camughera et Loranca. Et d'où, ensuite, par le même processus, un nouveau bourelé à pente raide du côté N, prêt aux subductions simploniques. Cf. sur les coupes d'Eclogae 64/1: les inversions successives de la résultante des forces issues du courant primordial et du second courant, la série d'alternances du jeu de ces forces, jusqu'à la fin de l'orogénèse alpine.

3) Zone Sesia

Mésozoïque très ophiolitique, mais apparemment moins important que dans la zone MR.

Permocarbonifère très ex-rhyodacitique, analogue à celui des zones MR et SB; Antécarbonifère différent.

hors de la carte,

mais sur la coupe

Lors d'une Deuxième phase tectogène, écratée, des subductions cisallantes, en sens inverse des précédentes, ont coupé les parties méridionales du Complexe SB/MR; constituant ainsi un phénomène qui devait nécessairement faire suite à la Première phase tectogène, car celle-ci a certainement créé, sous la zone MR, un bourelé très asymétrique comparable à celui des dunes (cf. 3^e coupe Eclogae 64/1), d'où devait forcément naître un second courant subcrustal, opposé au premier, plus vigoureux parce qu'plus incliné. Mais ces subductions cisallantes n'ont pas eu dans l'Ossola-Tessin l'ampleur des déversements de masses Sesia effectués dans les segments contigus, valaisan-valdostain et grison; laissant ainsi à une Troisième phase, simplonique, la continuation des déversements penniques vers le N.

2) Zone Saint-Bernard

Trias calcaréo-dolomitique et sédiments détritiques ou calcoschisteux ultérieurs beaucoup plus développés que dans la zone MR; ophiolites en proportions restreintes.

Antécarbonifère et « couverture postorogénique hercynienne, permocarbonifère » présentant, tous deux, les mêmes caractéristiques que celles de la zone MR.

Pendant la phase géosynclinal, affaissement, étrémens et fissurations beaucoup moins que dans la zone MR. — Vers la fin du Jurassique, lors d'une Première phase tectogène, des subductions cisallantes, suivies d'écoulements, ont déversé dans la fosse géosynclinal MR, jusqu'à la remplir entièrement, les parties méridionales de la zone SB; ces subductions n'étant qu'une conséquence de l'accentuation paroxysmale du courant subcrustal créateur du géosynclinal. Les gneiss Verosso et Domo-Prabernardo, à structures ondulées, appartiennent à ces parties SB déversées dans la fosse MR. *

1) Zone Mont-Rose

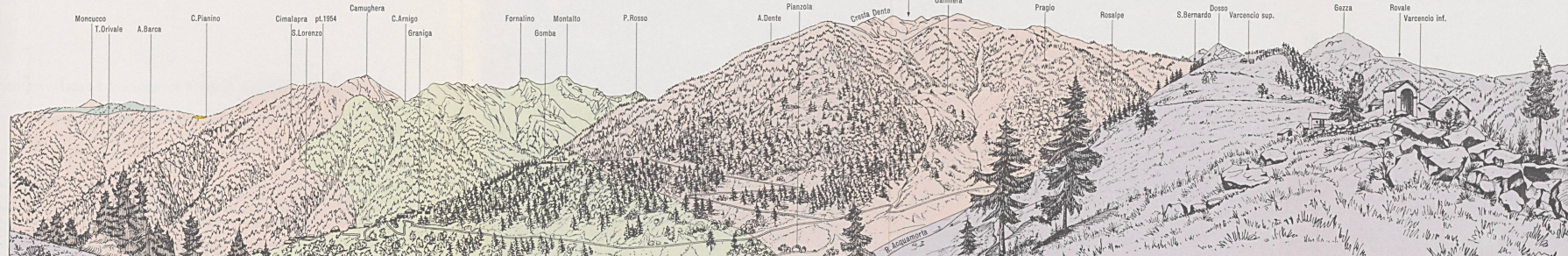
Trias et Jurassique essentiellement ophiolitique, avec peu de schistes lustrés;

Trias néritique très restreint, nul dans les parties méridiales de la zone.

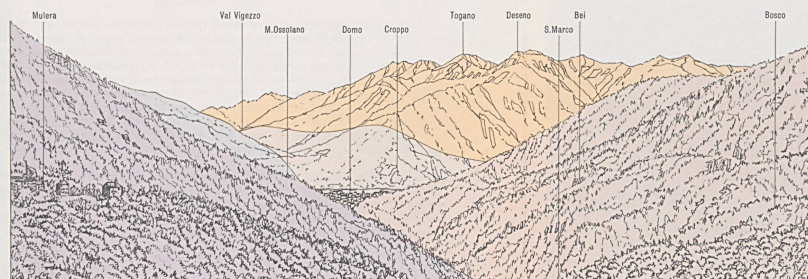
Silurien et Dévonien; Permocarbonifère postorogénique en grande partie ex-rhyodacitique.

Ex-fosse géosynclinal, correspondant au maximum des étrémens et des fissurations créatrices de volcanisme basaltique, qui ont accompagné l'affaissement relativement rapide de cette zone MR dès le début du Trias (la conjonction de ces fissurations et de cet affaissement ne pouvant évidemment provenir que d'un courant magmatique ralant la sous-face de l'écorce terrestre).

* Autour du Pacifique se trouve aujourd'hui des subductions cisallantes du même genre, des subductions correspondant à cette Première phase tectogène SB/MR, qui créent des courants dirigés vers le continent.



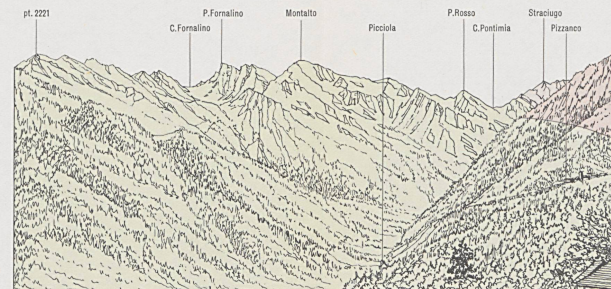
Panorama pris de Varcencio, à 1 1/2 km au N de San-Lorenzo, dans le Val Bognanco



Vue de San-Lorenzo vers l'E

A gauche, sur le flanc septentrional de la vallée, ce sont les gneiss du dos bombé de la nappe M.Leone, plongeant S. Tandis qu'en face, sur le versant méridional, ce sont les gneiss de la zone triangulaire Domo-Prabernardo, qui sont ciselées et qui appartiennent aux masses St.Bernard déversées dans la fosse Mt.Rose. La surface de cisaillement entre ces gneiss M.Leone et ces gneiss St.Bernard apparaît admirablement dans le bas de la vallée, tout au long de la R.Bogna.

À droite, au-delà du pylône, sur la crête de Varcencio, le Toce (et les carrières de Croppo d'où l'on a une belle vue en enfilade du Val Bognanco). Plus loin, le Val Vigezzo et les montagnes qui, au sud du complexe Domo-Prabernardo, appartiennent à la zone Sesia.



Vue de San-Lorenzo vers l'W

A gauche du panorama, jusqu'à la C.Carnughera, s'étendent des gneiss du complexe Domo-Prabernardo, qui appartiennent aux masses St.Bernard déversées dans la fosse Mt.Rose lors d'une Première phase tectogène. Les serpentines de Moncucco et les calcaires de la zone Sesia Pannio séparent des écailles de ces gneiss St.Bernard, dont les ondulations correspondent bien à des structures d'écoulement.

Plus à l'W, de la Carnughera au Montalto, ce sont d'épaisse strates d'écailles plates, N, avec des couches schisteuses lustrées, qui appartiennent à la couverture mésozoïque de la zone Mt.Rose, mais surmontent ici les gneiss St.Bernard par suite d'une subduction postérieure à la première phase tectogène, de même sens mais beaucoup moins importante (voir coupe et texte). Le Toce (et les carrières de Croppo) enfoncé en 1714, et traverse la vallée sous San-Lorenzo. Encore plus à l'W, aux abords de la Cima Rosso, il y a des alternances de gneiss et d'ophiolites avec schistes lustrés, qui correspondent à des replis ou écoulements.

Dans la partie médiane du panorama, affluent les gneiss St.Bernard de la Cima Veroso et de la Cresta del Dente, et les gneiss des pentes qui descendent jusqu'à l'Acquamorta, que l'on voit à droite des croupes de Pianzola. Ces gneiss déversent vers N, dans la vallée, des ondulations et se raccordent à ceux de Domo-Prabernardo par-dessus les ophiolites MR de Montalto-S.Lorenzo; le contact, passant près de Gomba sur la croupe qui se profile ici en contrebas. Ainsi, ces gneiss St.Bernard s'étendent jusqu'à la crête de la Cima Monte-Leone, qui court passant ici dans l'Acquamorta et montrant tout au long de celle-ci les gneiss plongeant N de la nappe Veroso-Bersial cisaillés par la subduction des gneiss simplioniques Monte-Leone plongeant S avec des schistes constamment parallèle à la surface principale de cisaillement.

A droite, au-delà du pylône, sur la crête de Varcencio, qui sépare l'Acquamorta du grand ravin Rasiga, dont un aperçut le flanc méridional, ce sont les gneiss de la nappe M.Leone, bombé de la nappe M.Leone. De même, c'est dans les gneiss M.Leone que sont taillés le P.Rovale et les autres sommets de la crête qui se profile au loin et qui sépare le Val Bognanco de la grande vallée descendant du Simplon.

A gauche, sur le flanc septentrional de la vallée, et dans les montagnes du fond, ce sont les strates amphibolitiques constituant la couverture mésozoïque de la zone Mt.Rose, plongeant ici vers N par suite d'une subduction postérieure à la Première phase tectogène. Sur le flanc septentrional, ces strates gneissiques sont cisaillées et se raccordent aux ophiolites plongeantes et se raccordent par-dessus celles-ci aux gneiss Domo-Prabernardo. Au fond de la vallée, des alternances de gneiss et d'amphibolites avec sl, correspondant aux replis Loranco et Carnughera de la subduction précitée.